

РАДИОФИЗИЧЕСКИЕ ЯВЛЕНИЯ
В ТВЕРДОМ ТЕЛЕ И ПЛАЗМЕ

УДК 537.624;537.632

НЕВЗАИМНЫЕ СВОЙСТВА ОБРАТНЫХ СПИНОВЫХ ВОЛН

© 2020 г. Э. Г. Локк*

Фрязинский филиал Института радиотехники и электроники им. В.А. Котельникова РАН,
пл. Введенского, 1, Фрязино, Московской обл., 141196 Российская Федерация

*E-mail: edwin@ms.ire.rssi.ru

Поступила в редакцию 26.03.2018 г.

После доработки 24.09.2019 г.

Принята к публикации 09.10.2019 г.

Исследованы невязимные свойства мод обратной спиновой волны в касательно намагниченной ферритовой пластине. Установлено, что на поверхности пластины отношение R нормированных амплитуд магнитного потенциала для двух волн с противоположно направленными волновыми векторами, ориентированными под углами φ и $\varphi - \pi$ относительно внешнего магнитного поля, существенно зависит от величины φ . Найдено, что существует значение частоты f_R , которое делит диапазон существования обратных спиновых волн на два частотных интервала: для частот, меньших f_R , зависимость $R(\varphi)$ является монотонной (величина R принимает минимальное и максимальное значения при углах, близких к углам отсечки волнового вектора), а для частот, больших f_R , — имеет точки экстремума (максимум и минимум) при значениях φ , равных максимальным углам отсечки поверхностной спиновой волны. Получена формула для ориентации волнового вектора, при которой на распределении амплитуды магнитного потенциала m -й моды волны в сечении ферритовой пластины возникает m -я точка экстремума, лежащая на одной из поверхностей пластины.

DOI: 10.31857/S0033849420030109

ВВЕДЕНИЕ

Как известно, касательно намагниченная ферритовая пленка — одна из немногих реальных сред, в которой могут возбуждаться и распространяться с малыми потерями обратные волны. В работе [1] обратные спиновые волны (ОСВ) были описаны с использованием магнитостатического приближения, из-за чего их часто называют обратными объемными магнитостатическими волнами (МСВ). В дальнейшем многие свойства этих волн и различные устройства на их основе были исследованы и описаны в ряде монографий [2–9] и статей [10–23]. В частности, в работах [13, 16] теоретически и экспериментально установлено, что при возбуждении ОСВ линейным преобразователем возникают две волны, характеризующиеся противоположно направленными волновыми векторами и *различным*¹ распределением магнитного потенциала в сечении ферритовой пластины. Кроме того, в [16, 18] было найдено, что в зависимости от ориентации волнового вектора (или возбуждающего преобразователя) наибольшее

значение магнитного потенциала может находиться как на поверхности, так и внутри ферритовой пластины.

Очевидно, что для разработки спин-волновых устройств необходимо знать, при какой ориентации волнового вектора распределение магнитного потенциала ОСВ имеет точку экстремума непосредственно на поверхности ферритовой пластины и при какой ориентации волнового вектора на поверхности пластины реализуется наибольшее отношение амплитуд магнитных потенциалов, описывающих две волны с противоположно направленными волновыми векторами. Ответы на эти вопросы дают представленные ниже исследования, являющиеся логическим продолжением работ [16, 21].

1. ОСНОВНЫЕ СООТНОШЕНИЯ.
ФИЗИЧЕСКИЙ СМЫСЛ
НОРМИРОВАННОЙ АМПЛИТУДЫ
МАГНИТНОГО ПОТЕНЦИАЛА $\Psi_0^H(x)$

Рассмотрим бесконечную пластину 2 толщиной s из изотропного феррита (рис. 1а). Пластина 2, окруженная полупространствами вакуума 1 и 3, намагничена до насыщения касательным однородным магнитным полем \overline{H}_0 и характеризуется тензором магнитной проницаемости $\overline{\mu}_2$. Испол-

¹ Исключением является случай, когда обе волны распространяются параллельно вектору внешнего магнитного поля в противоположных направлениях. Только в этом случае обе волны обладают *одинаковым* распределением магнитного потенциала в сечении ферритовой пластины и поэтому возбуждаются с одинаковой амплитудой.

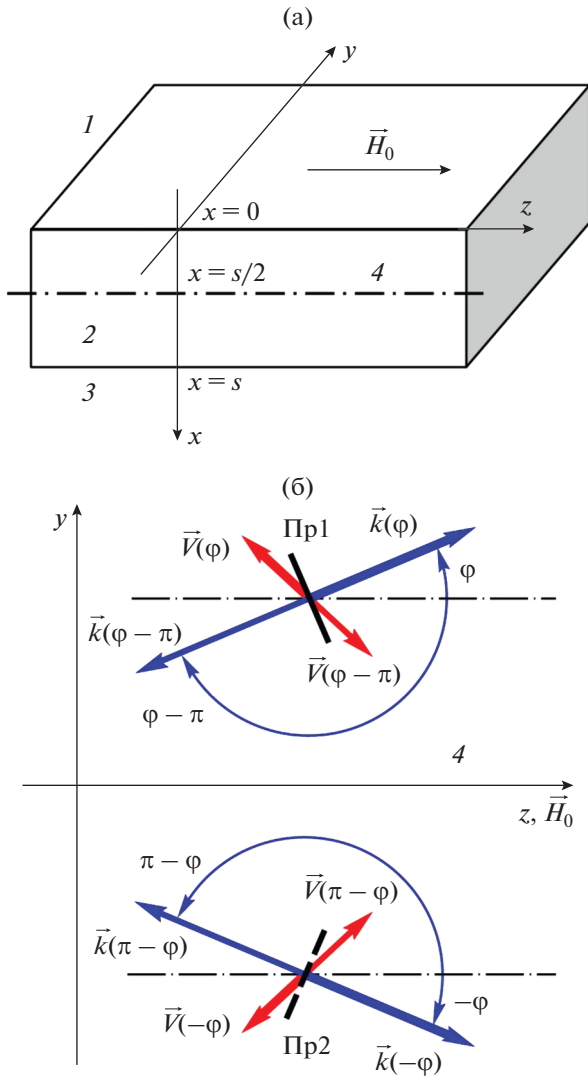


Рис. 1. Геометрия задачи в пространстве (а) и в плоскости ферритовой пластины (б) (вид со стороны поверхности $x = 0$): 1 и 3 – полупространства вакуума, 2 – ферритовая пластина (пленка); 4 – ось симметрии бесконечной касательно намагниченной ферритовой пластины; Пр1 и Пр2 – симметричные друг другу при повороте относительно оси 4 преобразователи, лежащие соответственно на поверхностях $x = 0$ и $x = s$. Изображены волновые векторы $\vec{k}(\varphi)$ и $\vec{k}(\varphi - \pi)$, $\vec{k}(-\varphi)$ и $\vec{k}(\pi - \varphi)$, их ориентации φ и $\varphi - \pi$, $-\varphi$ и $\pi - \varphi$ и соответствующие векторы групповой скорости $\vec{V}(\varphi)$ и $\vec{V}(\varphi - \pi)$, $\vec{V}(-\varphi)$ и $\vec{V}(\pi - \varphi)$ для волн, возбуждаемых преобразователями Пр1 и Пр2 соответственно (\vec{k} и \vec{V} для полезных волн показаны жирными векторами).

зуя уравнения Максвелла в магнитоэлектростатическом и безобменном приближениях и вводя магнитный потенциал Ψ по аналогии с работой [1], можно получить уравнения для потенциала Ψ_2 и потенциалов Ψ_1 и Ψ_3 внутри и вне ферритовой пла-

стины. Подставляя решение для магнитного потенциала

$$\begin{cases} \Psi_1 = C \exp(-k_{1x}x - ik_y y - ik_z z) \\ \Psi_2 = (A \sin(k_{2x}x) + B \cos(k_{2x}x)) \times \\ \times \exp(-ik_y y - ik_z z) \\ \Psi_3 = D \exp(k_{3x}x - ik_y y - ik_z z) \end{cases} \quad (1)$$

в граничные условия (определяемые непрерывностью нормальной компоненты СВЧ магнитной индукции и потенциала на границах сред), получим систему уравнений

$$\begin{cases} A \cos(k_{2x}s) - B \sin(k_{2x}s) + \frac{vk_y}{\mu k_{2x}} \times \\ \times (A \sin(k_{2x}s) + B \cos(k_{2x}s)) = -\frac{k_{1x}C \exp(k_{1x}s)}{\mu k_{2x}}, \\ \mu k_{2x}A + vk_y B = k_{1x}D \\ A \sin(k_{2x}s) + B \cos(k_{2x}s) = C \exp(k_{1x}s) \\ B = D \end{cases} \quad (2)$$

где $\mu = 1 + \omega_M \omega_H / (\omega_H^2 - \omega^2)$ и $v = \omega_M \omega / (\omega_H^2 - \omega^2)$ – компоненты тензора магнитной проницаемости феррита, $\omega_H = \gamma H_0$, $\omega_M = 4\pi\gamma M_0$, $\omega = 2\pi f$, γ – гиромагнитная постоянная, $4\pi M_0$ – намагниченность насыщения феррита, f – частота волны, A, B, C, D – произвольные коэффициенты, а $k_{1x}, k_{2x}, k_{3x}, k_y$ и k_z – компоненты волнового вектора (причем k_{1x}, k_{2x} и k_{3x} – положительные числа), связанные соотношениями $k_{1x} = k_{3x} = (k_y^2 + k_z^2)^{1/2}$, $k_{2x} = (-k_y^2 - k_z^2/\mu)^{1/2}$.

Для описания ОСВ в полярной системе координат воспользуемся соотношениями $y = -r \sin \varphi$, $z = r \cos \varphi$ и введем волновой вектор \vec{k} , модуль которого k связан с волновыми числами k_y, k_z, k_{1x} и k_{2x} соотношениями $k_y = -k \sin \varphi$, $k_z = k \cos \varphi$, $k_{2x} = \alpha k$ и $k_{1x} = k$, где

$$\alpha = \sqrt{\frac{-\cos^2 \varphi}{\mu} - \sin^2 \varphi} \quad (3)$$

а φ – угол, задающий ориентацию вектора \vec{k} относительно оси z (углы при исследовании ОСВ удобно отсчитывать от оси z , являющейся для этой волны осью коллинеарного распространения). В полярной системе координат связь между коэффициентами A, B, C и D , следующая из системы (2), и дисперсионное уравнение ОСВ, полученное в результате решения (2), имеют вид

$$\begin{aligned} A &= \frac{1 + v \sin \varphi}{\alpha \mu} B, \\ C &= \left(\frac{1 + v \sin \varphi}{\alpha \mu} \sin(\alpha ks) + \cos(\alpha ks) \right) B \exp(ks), \\ D &= B, \end{aligned} \quad (4)$$

$$\frac{1}{\mu} + \cos^2 \varphi + \mu_{\perp} \sin^2 \varphi + 2\alpha \text{ctg}(\alpha ks) = 0, \quad (5)$$

где введено обозначение $\mu_{\perp} = (\mu^2 - v^2)/\mu$. Из уравнения (5) величину k можно явно выразить через угол φ и параметры ферритовой пластины

$$k = \Phi(\varphi, f) = \frac{1}{\alpha s} \left[(m-1)\pi + \operatorname{arccctg} \left(\frac{1/\mu + \cos^2 \varphi + \mu_{\perp} \sin^2 \varphi}{-2\alpha} \right) \right], \quad (6)$$

где номер моды m принимает значения натуральных чисел ($m = 1, 2, 3, \dots$).

Подставляя (4) в (1), запишем магнитный потенциал Ψ_j внутри и вне пленки ($j = 1, 2$ или 3) в виде $\Psi_j = \Psi_{j0} \exp(-ikr)$, где амплитуды потенциала Ψ_{j0} в каждой среде определяются выражениями

$$\begin{aligned} \Psi_{10} &= B \left[\frac{1+v \sin \varphi}{\alpha \mu} \sin(\alpha ks) + \cos(\alpha ks) \right] \times \\ &\quad \times \exp(ks - kx), \\ \Psi_{20} &= B \left[\frac{1+v \sin \varphi}{\alpha \mu} \sin(\alpha kx) + \cos(\alpha kx) \right], \\ \Psi_{30} &= B \exp(kx). \end{aligned} \quad (7)$$

Для краткости амплитуду потенциала, состоящую из трех функций Ψ_{10} , Ψ_{20} и Ψ_{30} обозначим Ψ_0 .

Точно также, через Ψ_0^H обозначена *нормированная* амплитуда потенциала

$$\Psi_0^H = \Psi_0 / (B \Psi_{0\max}(\varphi)), \quad (8)$$

где *нормировочная величина* $\Psi_{0\max}(\varphi)$ представляет собой максимальное значение модуля функции Ψ_{20}/B на отрезке $0 \leq x \leq s$. (Выражение для величины $\Psi_{0\max}(\varphi)$ получено далее, см. формулу (11).)

Распределение амплитуды $\Psi_0^H(x)$, рассчитанное в соответствии с (8) при различных значениях φ для первой и второй мод ОСВ, показано на рис. 2. Расчеты выполнены для частоты ОСВ $f = 2000$ МГц и параметров поля и пленки, использованных в [16, 21, 22]: $H_0 = 367$ Э, $4\pi M_0 = 1870$ Гс, $s = 82$ мкм.

Поясним, чем отличаются нормированные и ненормированные зависимости $\Psi_0^H(x, \varphi)$ и $\Psi_0(x, \varphi)$. Поскольку *касательно* намагниченная ферритовая пластина симметрична самой себе при повороте на 180° вокруг единственной оси симметрии (см. рис. 1, ось 4), параллельной вектору \vec{H}_0 и проходящей через середину пластины, а одинаковые линейные преобразователи Пр1 и Пр2 (см. рис. 16), расположенные на поверхностях пластины $x = 0$ и $x = s$, отображаются при данном повороте друг на друга², то и зависимости волн $\Psi_0^H(x, \varphi)$ и $\Psi_0^H(x, -\varphi)$, возбуждаемых этими преобразователями, должны быть симметричны.

² Фактически речь идет о тождественных геометриях возбуждения волн.

Действительно, из рис. 2 видно, что эти зависимости либо *центрально симметричны* (для нечетных мод), либо *зеркально симметричны* (для четных мод). Для ненормированных зависимостей $\Psi_0(x, \varphi)$ и $\Psi_0(x, -\varphi)$ такая симметрия не имеет места³, поэтому они неадекватно описывают соотношение амплитуд при тождественных геометриях возбуждения волн, хотя и могут использоваться для вычислений.

2. УГЛЫ $\varphi_{\text{экт}}$, ПРИ КОТОРЫХ ЗАВИСИМОСТЬ $\Psi_0^H(x)$ ИМЕЕТ ТОЧКУ ЭКСТРЕМУМА НА ПОВЕРХНОСТИ ФЕРРИТОВОЙ ПЛАСТИНЫ ДЛЯ ВСЕХ МОД ОСВ

Как видно из рис. 2, при $\varphi = 0$ и $\varphi = 180^\circ$ распределение потенциала $\Psi_0^H(x)$ имеет одинаковую (по абсолютной величине) амплитуду на обеих поверхностях пластины (кривые 1), причем это распределение имеет $m - 1$ точек экстремума, в которых $\partial \Psi_0^H / \partial x = 0$. То есть для первой моды зависимость $\Psi_0^H(x)$ не имеет точек экстремума, для второй моды имеет одну точку экстремума и т.д. С изменением угла φ (в любую сторону от направленный $\varphi = 0$ и $\varphi = 180^\circ$) при некоторых значениях $\varphi = \pm \varphi_{\text{экт}}$ и $\varphi = \pi \pm \varphi_{\text{экт}}$ на зависимости $\Psi_0^H(x)$ возникает *еще одна m -я точка экстремума, локализованная на одной из поверхностей пластины*. При дальнейшем изменении угла φ эта m -я точка экстремума смещается от поверхности к середине пластины (см. рис. 2, кривые 2–7).

Для вычисления угла $\varphi_{\text{экт}}$ найдем вначале координату $x = x_{\text{экт}}$, которая соответствует точке экстремума на зависимости $\Psi_0^H(x)$. Чтобы определить эту координату найдем производную $\partial \Psi_0^H / \partial x$, продифференцировав выражение (8) и приравняем ее нулю:

$$\frac{1+v \sin \varphi}{\mu} \cos(\alpha k x_{\text{экт}}) - \alpha \sin(\alpha k x_{\text{экт}}) = 0. \quad (9)$$

³ Кратко это можно объяснить так: полагая, например, в (7) $B = 0.86$ для приведенных выше параметров и $\varphi = 23.9^\circ$ получим кривую 3 на рис. 2а, для которой в точке G $\Psi_{20}(x=0) = 0.86$. Однако чтобы при $\varphi = -23.9^\circ$ мы получили бы в точке L на кривой 6 рис. 2б $\Psi_{20}(x=s) = -0.86$, необходимо в (7) положить $B = 0.298$ (если же оставить $B = 0.86$ при $\varphi = -23.9^\circ$, то получим в точке L на кривой 6 $\Psi_{20}(x=s) = -2.49$, а в точке H $\Psi_{20}(x=0) = 0.86$). Таким образом, нормировка обеспечивает необходимую симметрию кривых $\Psi_0^H(x, \varphi)$ и $\Psi_0^H(x, -\varphi)$ и удобство отображения всех кривых на одном рисунке.

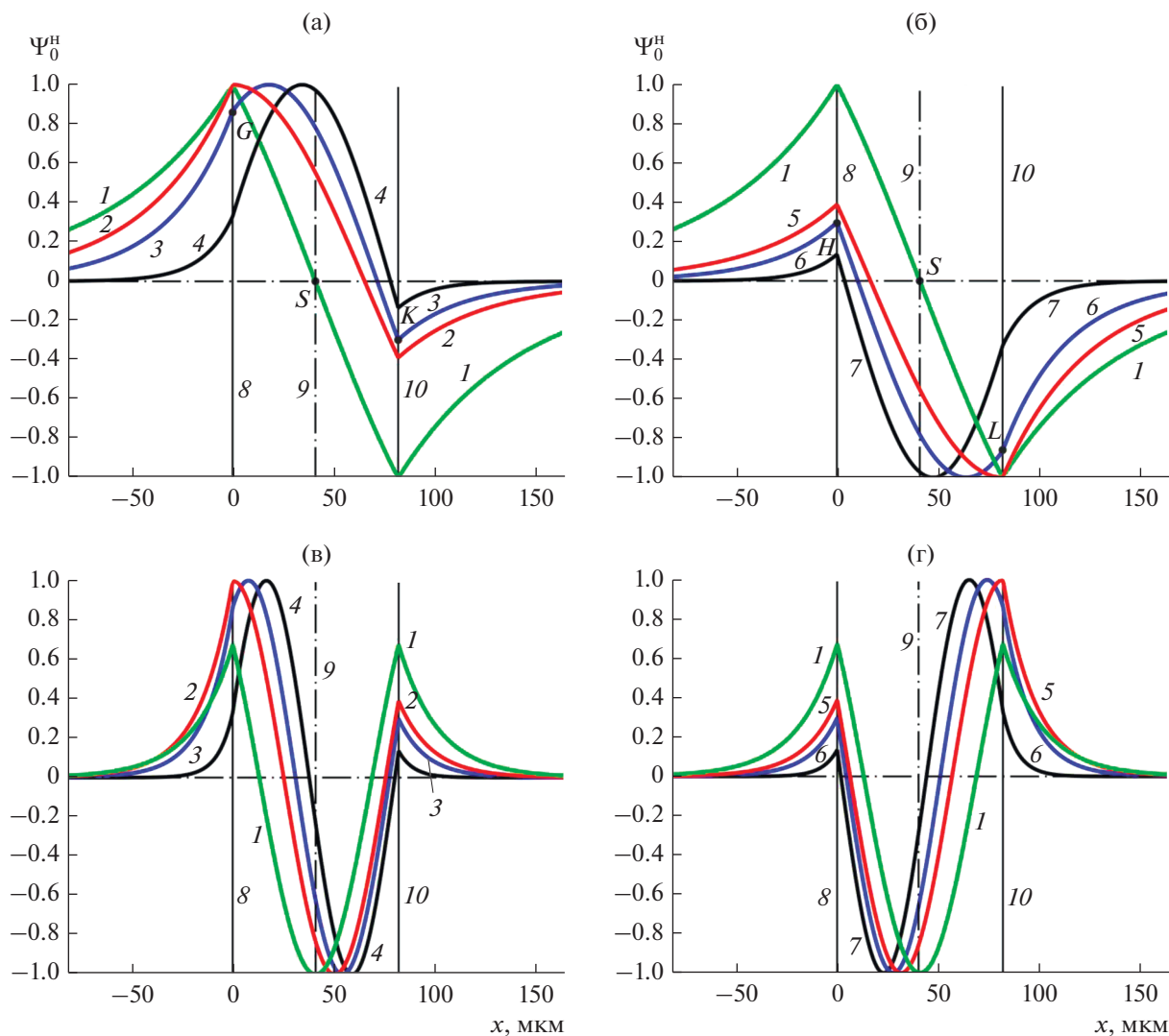


Рис. 2. Нормированное распределение амплитуды магнитного потенциала $\Psi_0^H(x)$ для первой (а и б) и второй (в и г) мод ОСВ при $f = 2000$ МГц и следующих положительных (а и в) и отрицательных (б и г) значениях угла φ : 0° и 180° (1), $\varphi_{\text{экст1}} = 16.3^\circ$ и $\varphi_{\text{экст2}} = 163.7^\circ$ (2), $\varphi_{R1} = 23.9^\circ$ и $\varphi_{R2} = 156.1^\circ$ (3), 40° и 160° (4), $\varphi_{\text{экст4}} = -16.3^\circ$ и $\varphi_{\text{экст3}} = -163.7^\circ$ (5), $\varphi_{R4} = -23.9^\circ$ и $\varphi_{R3} = -156.1^\circ$ (6), -40° и -160° (7). Координаты $x = 0$, $x = s/2 = 41$ мкм и $x = s = 82$ мкм обозначены прямыми 8–10, причем прямая 9 является осью зеркальной симметрии, при которой кривые $\Psi_0^H(x)$ на рис. 2в симметричны кривым $\Psi_0^H(x)$ на рис. 2г. Для первой моды ОСВ точками G, H, K и L отмечены значения $\Psi_0^H(x = 0)$ и $\Psi_0^H(x = s)$ на кривых 3 и б, а точкой S – центр симметрии, при которой кривые $\Psi_0^H(x)$ на рис. 2а симметричны кривым $\Psi_0^H(x)$ на рис. 2б.

Из уравнения (9) легко найти координату $x_{\text{экст}}$:

$$x_{\text{экст}} = \frac{1}{\alpha k} \arctg\left(\frac{1 + v \sin \varphi}{\alpha \mu}\right). \quad (10)$$

Получим также выражение для нормировочной величины $\Psi_{0\text{макс}}(\varphi)$, стоящей в формуле (8). Подставляя $\sin(\alpha k x_{\text{экст}})$ из соотношения (9) в (7), используя соотношение $\cos(\alpha k x_{\text{экст}}) = 1/(1 + \text{tg}^2(\alpha k x_{\text{экст}}))^{1/2}$ и учитывая (10), можно найти значение зависимо-

сти $\Psi_{20}(x)$ в точке экстремума при $x = x_{\text{экст}}$ и записать следующее выражение для нормировочной величины $\Psi_{0\text{макс}}(\varphi)$:

$$\Psi_{0\text{макс}}(\varphi) = \sqrt{1 + \frac{(1 + v \sin \varphi)^2}{\alpha^2 \mu^2}}. \quad (11)$$

Отметим, что зависимость $\Psi_{20}(x)$ для первой моды ОСВ не имеет точек экстремума для углов φ из интервалов значений $-\varphi_{\text{экст1}} < \varphi < \varphi_{\text{экст1}}$ и $\pi - \varphi_{\text{экст1}} <$

$\langle \varphi < \pi + \varphi_{\text{экт1}}$. Поэтому, чтобы получить нормированное распределение $\Psi_{20}^H(x)$ для таких углов φ , необходимо нормировать зависимость $\Psi_{20}(x)$ на максимальное значение, реализующееся на одной из поверхностей пленки.

Найдем теперь из выражения (9) параметры волны, при которых зависимость $\Psi_{20}^H(x)$ имеет точку экстремума (максимум) прямо на поверхности ферритовой пленки при $x = 0$ (рис. 2а, кривая 2). Полагая в (9) $x_{\text{экт}} = 0$, получим простое уравнение для вычисления угла $\varphi_{\text{экт}}$

$$1 + v \sin \varphi_{\text{экт}} = 0. \quad (12)$$

В интервале значений $-\pi < \varphi_{\text{экт}} \leq \pi$ уравнение (12) имеет два решения, $\varphi_{\text{экт1}}$ и $\varphi_{\text{экт2}} = \pi - \varphi_{\text{экт1}}$, причем величина $\varphi_{\text{экт1}}$ определяется выражением

$$\varphi_{\text{экт1}} = -\arcsin(1/v). \quad (13)$$

Поскольку $v < 0$ во всем диапазоне существования ОСВ, то угол $\varphi_{\text{экт1}}$ — величина положительная.

Из справедливости уравнения (12) следует, что при $\varphi = \varphi_{\text{экт}}$ коэффициент A в (4) равен нулю, нормировочная величина в (11) $\Psi_{\text{омакс}}(\varphi_{\text{экт}})$ равна единице, а зависимость $\Psi_{20}^H(x, \varphi_{\text{экт}})$, определяемая выражением (8), представляет собой обычную косинусоиду

$$\Psi_{20}^H(x, \varphi_{\text{экт}}) = \cos(\alpha k x), \quad (14)$$

где следует использовать значения α и k при $\varphi = \varphi_{\text{экт}}$.

Для нахождения угла $\varphi_{\text{экт}}$, при котором зависимость $\Psi_{20}^H(x)$ имеет точку экстремума⁴ на поверхности $x = s$, положим в (9) $x_{\text{экт}} = s$. В итоге получим

$$\text{tg}(\alpha k s) = (1 + v \sin \varphi) / \alpha \mu. \quad (15)$$

Находя величину $\text{tg}(\alpha k s)$ из соотношения (5) и подставляя ее в (15), получим уравнение

$$(1 + v \sin \varphi) (1/\mu + \cos^2 \varphi + \mu_{\perp} \sin^2 \varphi) + 2\alpha^2 \mu = 0. \quad (16)$$

Раскрывая скобки, учитывая (3) и приводя подобные, можно разложить уравнение (16) на множители, одним из которых является множитель $1 - v \sin \varphi_{\text{экт}}$. То есть для вычисления угла $\varphi_{\text{экт}}$ получаем простое уравнение

$$1 - v \sin \varphi_{\text{экт}} = 0. \quad (17)$$

В интервале значений $-\pi < \varphi_{\text{экт}} \leq \pi$ уравнение (17) имеет два решения, $\varphi_{\text{экт3}} = \varphi_{\text{экт1}} - \pi$ и $\varphi_{\text{экт4}} = -\varphi_{\text{экт1}}$, где величина $\varphi_{\text{экт1}}$ определяется выражением (13).

Таким образом, зависимость $\Psi_{20}^H(x)$ имеет точку экстремума непосредственно на одной из по-

⁴ Имеется в виду точка минимума на кривой 5 рис. 2б.

верхностей ферритовой пластины при четырех углах $\varphi_{\text{экт1}} = -\arcsin(1/v)$, $\varphi_{\text{экт2}} = \pi - \varphi_{\text{экт1}}$, $\varphi_{\text{экт3}} = \varphi_{\text{экт1}} - \pi$ и $\varphi_{\text{экт4}} = -\varphi_{\text{экт1}}$.

Следует отметить, что все формулы, приведенные в этом разделе, справедливы для всех мод ОСВ.

Зависимости углов $\varphi_{\text{экт1}} \dots \varphi_{\text{экт4}}$ от частоты волн f удобно изображать в полярной системе координат вместе с зависимостями углов отсечки ОСВ $\varphi_{\text{отс}}^{\text{ОСВ}}(f)$ и углов отсечки поверхностной спиновой волны (ПСВ) $\varphi_{\text{отс}}^{\text{ПСВ}}(f)$ (рис. 3, кривые 1–4, 5–8 и 9–12 соответственно). Напомним, что углами отсечки спиновой волны называют углы, при которых $k \rightarrow \infty$, т.е. углы наклона асимптот изочастотной зависимости⁵. Таким образом, каждый угол отсечки определяет предельную ориентацию волнового вектора при данной частоте.

На рис. 3 также отмечены области $\varphi_{\text{ОСВ}}$ и $\varphi_{\text{ПСВ}}$, соответствующие всем возможным ориентациям волнового вектора для ОСВ и ПСВ в ферритовой пластине (подробнее см. [21]). Анализируя рис. 2 и 3, можно отметить следующие свойства и особенности представленных зависимостей.

Зависимости $\varphi_{\text{экт1}}(f) - \varphi_{\text{экт4}}(f)$ (см. рис. 3 кривые 1–4) и зависимости углов отсечки ПСВ $\varphi_{\text{отс1}}^{\text{ПСВ}}(f) - \varphi_{\text{отс4}}^{\text{ПСВ}}(f)$ (кривые 9–12) имеют с окружностью $f_{\perp} = \omega_{\perp}/2\pi = \sqrt{\omega_{\text{H}}^2 + \omega_{\text{H}}\omega_{\text{M}}}/2\pi = 2539$ МГц (см. рис. 3, 18) общие точки при значениях углов $\varphi_{\text{отс1}}^{\text{ПСВ}}(f_{\perp})$, $\varphi_{\text{отс2}}^{\text{ПСВ}}(f_{\perp}) = \pi - \varphi_{\text{отс1}}^{\text{ПСВ}}(f_{\perp})$, $\varphi_{\text{отс3}}^{\text{ПСВ}}(f_{\perp}) = \varphi_{\text{отс1}}^{\text{ПСВ}}(f_{\perp}) - \pi$ и $\varphi_{\text{отс4}}^{\text{ПСВ}}(f_{\perp}) = -\varphi_{\text{отс1}}^{\text{ПСВ}}(f_{\perp})$, где $\varphi_{\text{отс1}}^{\text{ПСВ}}(f_{\perp})$ называют *максимальным* углом отсечки ПСВ при $f \rightarrow f_{\perp}$ и находят по формуле⁶, полученной в [1]

$$\varphi_{\text{отс1}}^{\text{ПСВ}}(f_{\perp}) = \pi/2 - \text{arctg} \sqrt{\omega_{\text{M}}/\omega_{\text{H}}}. \quad (18)$$

Поскольку при заменах φ на $\pi - \varphi$ и $-\varphi$ на $\varphi - \pi$ выражения (3), (6), (8) и (11) не меняются, то любой точке $N(f, \varphi)$ из областей $\varphi_{\text{ОСВ}}$ или $\varphi_{\text{ПСВ}}$ и точке $N_y(f, \pi - \varphi)$, симметричной точке N относительно оси y , соответствуют волны с *одинаковыми*

⁵ Напомним, что изочастотная зависимость волны представляет собой сечение дисперсионной поверхности волны $f(k_x, k_z)$ или $f(k, \varphi)$ плоскостью постоянной частоты $f = \text{const}$. Поскольку изочастотные зависимости ОСВ и ПСВ похожи на гиперболы (см., например, [17]), то эти зависимости характеризуются асимптотами. Подробнее термины “изочастотная зависимость” и “угол отсечки” обсуждаются в [17], а применительно к ОСВ — в [21]. Зависимость углов отсечки от частоты впервые получена для ПСВ в работе [24], а для ОСВ — в [21, 22], где в обеих работах в формуле для угла отсечки ОСВ, к сожалению, опечатка (ниже приведена корректная формула (32)).

⁶ Слагаемое $\pi/2$ появилось из-за отсчета углов относительно оси z . В литературе же выражение (18) обычно записывают без этого слагаемого [1, 4–6], поскольку при описании ПСВ углы принято отсчитывать от оси y .

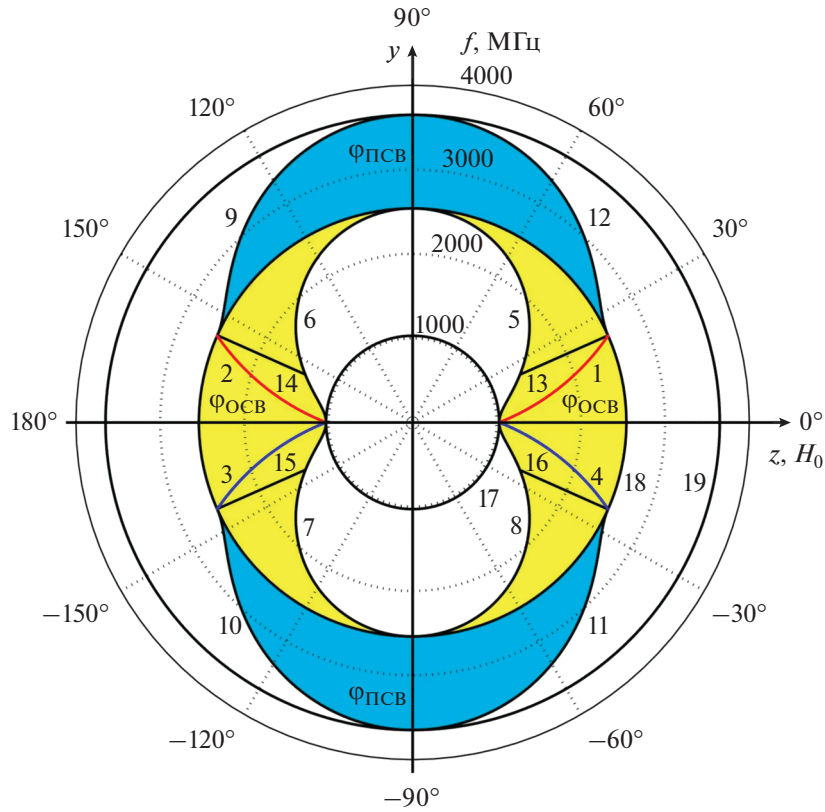


Рис. 3. Зависимости углов $\varphi_{\text{экт}1} - \varphi_{\text{экт}4}$ (кривые 1–4), углов отсечки волнового вектора ОСВ $\varphi_{\text{отс}1}^{\text{ОСВ}} - \varphi_{\text{отс}4}^{\text{ОСВ}}$ и углов отсечки волнового вектора ПСВ $\varphi_{\text{отс}1}^{\text{ПСВ}} - \varphi_{\text{отс}4}^{\text{ПСВ}}$ (кривые 9–12) от частоты волны f . Отрезки 13–16 соответствуют значениям углов максимальной невзаимности ОСВ $\varphi_{R1} - \varphi_{R4}$, а окружности 17, 18 и 19 соответствуют значениям частот $f_H = \omega_H/2\pi = 1029$ МГц, $f_{\perp} = \omega_{\perp}/2\pi = 2539$ МГц и $f = (\omega_H + \omega_M/2)/2\pi = 3649$ МГц. На диаграмме показаны области $\varphi_{\text{ОСВ}}$ и $\varphi_{\text{ПСВ}}$, соответствующие множеству всех возможных ориентаций волнового вектора обратной и поверхностной волн в ферритовой пластине.

зависимостями амплитуды магнитного потенциала, т.е.

$$\Psi_0^H(x, f, \varphi) = \Psi_0^H(x, f, \pi - \varphi) \quad (19)$$

и $\Psi_0^H(x, f, -\varphi) = \Psi_0^H(x, f, \varphi - \pi)$.

В то же время точке $N(f, \varphi)$ и точке $N_z(f, -\varphi)$, симметричной точке N относительно оси z , соответствуют волны с *разными, хотя и симметричными* (как показано в разделе 1) зависимостями амплитуд $\Psi_0^H(x, f, \varphi)$ и $\Psi_0^H(x, f, -\varphi)$.

Из симметрии зависимостей $\Psi_0^H(x, f, \varphi)$ и $\Psi_0^H(x, f, -\varphi)$ и равенств (19) следует, что соотношения между четырьмя зависимостями $\Psi_0^H(x, \varphi)$, $\Psi_0^H(x, \pi - \varphi)$, $\Psi_0^H(x, -\varphi)$ и $\Psi_0^H(x, \varphi - \pi)$ фиксированы, и этот факт позволяет найти отношение между амплитудами двух волн с противоположно направленными волновыми векторами (см. разд. 3).

3. УГЛЫ МАКСИМАЛЬНОЙ НЕВЗАИМНОСТИ ОСВ φ_R

При возбуждении волн линейным преобразователем, может потребоваться осуществить эксперимент, в котором невзаимное свойство ОСВ проявляется в максимальной степени, т.е. когда на одной из поверхностей ферритовой пластины реализуется *наибольшее* отношение R амплитуд

потенциалов Ψ_0^H двух волн с противоположно направленными волновыми векторами. Для расчета таких геометрий возбуждения обозначим амплитуды потенциала Ψ_{20}^H при некоторых произвольных ориентациях волнового вектора φ и $\varphi - \pi$ точками G и H на поверхности пластины $x = 0$ и точками K и L на поверхности $x = s$ (см. рис. 2 кривые 3 и б).

Так как зависимости $\Psi_0^H(x, f, \varphi)$ и $\Psi_0^H(x, f, \varphi - \pi)$ центрально симметричны (для нечетных мод) либо зеркально симметричны (для четных мод), то

иское отношение R для поверхностей $x = 0$ и $x = s$ можно записать соответственно в виде⁷

$$R = \frac{\Psi_{20}^H(G)}{\Psi_{20}^H(H)} = \frac{\Psi_{20}^H(x = 0, \varphi)}{\Psi_{20}^H(x = 0, \varphi - \pi)}, \quad (20)$$

$$\frac{1}{R} = \frac{\Psi_{20}^H(K)}{\Psi_{20}^H(L)} = \frac{\Psi_{20}^H(x = s, \varphi)}{\Psi_{20}^H(x = s, \varphi - \pi)}. \quad (21)$$

Отношение амплитуд Ψ_{20}^H при ориентации вектора \vec{k} под углом φ на поверхностях пластины $x = 0$ и $x = s$ в соответствии с выражением (8) имеет вид

$$\frac{\Psi_{20}^H(G)}{\Psi_{20}^H(K)} = \frac{\Psi_{20}^H(x = 0, \varphi)}{\Psi_{20}^H(x = s, \varphi)} = \left(\frac{1 + v \sin \varphi}{\alpha \mu} \sin(\alpha ks) + \cos(\alpha ks) \right)^{-1}. \quad (22)$$

Для противоположной ориентации волнового вектора $\varphi - \pi$ отношение амплитуд потенциала Ψ_{20}^H на поверхностях пластины $x = s$ и $x = 0$ будет равно

$$\frac{\Psi_{20}^H(L)}{\Psi_{20}^H(H)} = \frac{\Psi_{20}^H(x = s, \varphi - \pi)}{\Psi_{20}^H(x = 0, \varphi - \pi)} = \frac{1 - v \sin \varphi}{\alpha \mu} \sin(\alpha ks) + \cos(\alpha ks). \quad (23)$$

Так как зависимости $\Psi_0^H(x, \varphi)$ и $\Psi_0^H(x, \varphi - \pi)$ симметричны, то левые части выражений (22) и (23) равны, а их разность равна нулю⁸, т.е.

$$\frac{\Psi_{20}^H(G)}{\Psi_{20}^H(K)} = \frac{\Psi_{20}^H(L)}{\Psi_{20}^H(H)} \quad (24)$$

или $\frac{\Psi_{20}^H(x = 0, \varphi)}{\Psi_{20}^H(x = s, \varphi)} = \frac{\Psi_{20}^H(x = s, \varphi - \pi)}{\Psi_{20}^H(x = 0, \varphi - \pi)}$.

Поделив выражения (20) и (21), с учетом соотношений (22)–(24), получим

$$R^2 = \frac{(1 - v \sin \varphi) \sin(\alpha ks) + \alpha \mu \cos(\alpha ks)}{(1 + v \sin \varphi) \sin(\alpha ks) + \alpha \mu \cos(\alpha ks)} = \frac{1 - v \sin \varphi + \alpha \mu \operatorname{ctg}(\alpha ks)}{1 + v \sin \varphi + \alpha \mu \operatorname{ctg}(\alpha ks)}. \quad (25)$$

⁷ В работе [13] отмечалось, что для отношения амплитуд потенциала на поверхностях ферритовой пластины (это отношение в [13] обозначено через α) справедливо соотношение $\alpha(-\vec{H}_0) = \alpha^{-1}(\vec{H}_0)$, хотя формула для расчета величины α в [13] не приведена.

⁸ Это можно доказать и математически, для чего надо вычесть правые части выражений (22) и (23), привести их к общему знаменателю и, найдя величину $\operatorname{ctg}(\alpha ks)$ из уравнения (5), подставить ее в результирующее выражение.

Найдя величину $\operatorname{ctg}(\alpha ks)$ из уравнения (5) и подставив ее в (25), имеем

$$R = \sqrt{\frac{1 - \mu - 2v \sin \varphi + (\mu - \mu^2 + v^2) \sin^2 \varphi}{1 - \mu + 2v \sin \varphi + (\mu - \mu^2 + v^2) \sin^2 \varphi}}. \quad (26)$$

Вычислим угол φ_R , при котором $\partial R / \partial \varphi = 0$. Дифференцируя выражение (26) по φ , приравнявая нулю числитель полученного выражения и приводя подобные, получим уравнение

$$1 - \mu - (\mu - \mu^2 + v^2) \sin^2 \varphi_R = 0, \quad (27)$$

из которого, используя выражения для μ и v , можно вывести соотношения

$$\sin^2 \varphi_R = \frac{1 - \mu}{\mu - \mu^2 + v^2} = \frac{\omega_H}{\omega_H + \omega_M} \quad (28)$$

или $\cos^2 \varphi_R = \frac{\omega_M}{\omega_H + \omega_M}$.

Решениями уравнения (28) являются четыре угла $\varphi_{R1}, \varphi_{R2} = \pi - \varphi_{R1}, \varphi_{R3} = \varphi_{R1} - \pi$ и $\varphi_{R4} = -\varphi_{R1}$, где величина φ_{R1} определяется выражениями

$$\varphi_{R1} = \arcsin \sqrt{\omega_H / (\omega_H + \omega_M)} \quad (29)$$

или $\varphi_{R1} = \arccos \sqrt{\omega_M / (\omega_H + \omega_M)}$.

Очевидно, что в силу справедливости соотношения (см. § 2.5.2.1.7 в [25])

$$\pi/2 - \operatorname{arctg} \sqrt{\theta} = \arccos \left[\theta / \sqrt{1 + \theta^2} \right], \quad (30)$$

углы, определяемые выражениями (29) и (18), тождественны:

$$\varphi_{R1} \equiv \varphi_{\text{отс1}}^{\text{ПСВ}}(f_{\perp}), \quad (31)$$

причем при выбранных параметрах $\varphi_{R1} = 23.9^\circ$.

Таким образом, показано, что на обеих поверхностях ферритовой пластины $x = s$ и $x = 0$ отношение нормированных амплитуд потенциалов *двух волн*, характеризующихся *противоположно направленными* волновыми векторами, имеет точки экстремума при *максимальных углах отсечки* ПСВ $\varphi_{\text{отс1}}^{\text{ПСВ}}(f_{\perp}) \dots \varphi_{\text{отс4}}^{\text{ПСВ}}(f_{\perp})$, которые применительно к ОСВ можно кратко называть *углами максимальной невязимности* $\varphi_{R1} \dots \varphi_{R4}$.

Отметим, что ранее [18] отмечалось следующее: “Вблизи критического угла⁹ α_c значение пространственной фазы объемных МСВ на верхней поверхности близко к значению $\pi/2$, при котором магнито-статический потенциал Ψ достигает своего макси-

⁹ В работе [18] угол $\varphi_{\text{отс1}}^{\text{ПСВ}}(f_{\perp})$, описываемый формулой (18), обозначен через α_c .

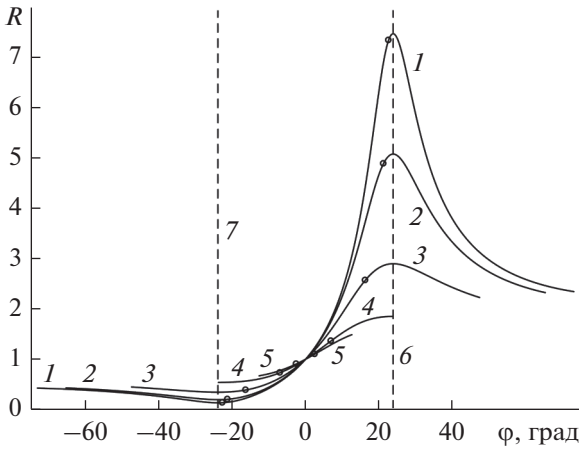


Рис. 4. Отношение нормированных амплитуд потенциала R двух ОСВ, характеризующихся противоположно направленными волновыми векторами, на поверхности $x = 0$ в зависимости от ориентации φ волнового вектора для следующих значений частоты: $f = 2450$ (1), 2350 (2), 2000 (3), $f_R = 1393.6$ (4), 1150 МГц (5). Углы максимальной невзаимности: $\varphi_{R1} = 23.9^\circ$ (6) и $\varphi_{R4} = -23.9^\circ$ (7). Значения, соответствующие углам $\varphi_{\text{экт}1}$ и $\varphi_{\text{экт}4}$ для соответствующих частот, отмечены на кривых кружочками.

мама. Это соответствует наибольшей невзаимности (т.е. наибольшей асимметрии распределения функции Ψ по толщине пленки)”. Эти утверждения не совсем корректны: на поверхности пленки магнитостатический потенциал Ψ_0^H достигает своего максимума для первой моды ОСВ в интервале углов $0 \leq \varphi \leq \varphi_{\text{экт}1}$ (см. рис. 2а), а для второй моды — при угле $\varphi = \varphi_{\text{экт}1}$ (см. рис. 2в), но не при $\varphi = \varphi_{R1}$ (как утверждают авторы [18]); наибольшая асимметрия распределения функции Ψ_0^H имеет место не “вблизи”, а точно при $\varphi = \varphi_{R1}$. В аннотации же работы [18] написано, что “направление волнового вектора ..., которое совпадает с углом отсечки для поверхностных МСВ, ... соответствует наибольшей асимметрии распределения магнитостатического потенциала по толщине пленки”. Поскольку в работе [18] это утверждение не доказано, то следует считать его предположением, которое, тем не менее, оказалось справедливым и доказано в данной работе.

Вернемся к обсуждению полученных результатов. Как видно из рис. 3, отрезки 13–16, соответствующие углам $\varphi_{R1} \dots \varphi_{R4}$, пересекают кривые 5–8, описывающие углы отсечки ОСВ $\varphi_{\text{отс}1}^{\text{ОСВ}} \dots \varphi_{\text{отс}4}^{\text{ОСВ}}$, на некоторой граничной частоте f_R . Очевидно, возникают следующие вопросы: чему равна величина f_R и имеет ли зависимость $R(\varphi)$ точки экстремума на частотах, меньших значения f_R . Ответить можно, анализируя зависимости $R(\varphi)$, рассчитан-

ные по формулам (20) и (26) при различных значениях частоты f (рис. 4): для частот $f > f_R$ зависимости $R(\varphi)$ (кривые 1–3) имеют максимум при $\varphi = \varphi_{R1} = 23.9^\circ$ и минимум при $\varphi = \varphi_{R4} = -23.9^\circ$. Однако с уменьшением f интервал углов, в котором существуют ОСВ, тоже уменьшается и при $f = f_R$ зависимость $R(\varphi)$ имеет экстремумы при значениях φ , равных одновременно углам φ_{R1} , φ_{R4} и углам отсечки ОСВ $\varphi_{\text{отс}1}^{\text{ОСВ}}$, $\varphi_{\text{отс}4}^{\text{ОСВ}}$ (см. рис. 4 кривая 4), описываемым выражениями [21]

$$\varphi_{\text{отс}1}^{\text{ОСВ}} = \arctg \sqrt{-\frac{1}{\mu}} = \arctg \sqrt{\frac{\omega^2 - \omega_H^2}{\omega_{\perp}^2 - \omega^2}} \quad (32)$$

или $\varphi_{\text{отс}1}^{\text{ОСВ}} = \arcsin \sqrt{\frac{\omega^2 - \omega_H^2}{\omega_M \omega_H}}$.

Таким образом, из условия $\varphi_{R1} = \varphi_{\text{отс}1}^{\text{ОСВ}}$ легко вычислить значение граничной частоты f_R . Приравняв выражения (29) и (32) найдем

$$\omega_R = 2\pi f_R = \omega_H \sqrt{1 + \frac{\omega_M}{\omega_H + \omega_M}}. \quad (33)$$

При используемых параметрах пластины и поля получим $f_R = 1393.6$ МГц.

Для частот $f < f_R$ зависимость $R(\varphi)$ не имеет точек экстремума (кривая 5 на рис. 4) и величина R принимает наибольшее и наименьшее значения при углах близких к углам отсечки ОСВ $\varphi \rightarrow \varphi_{\text{отс}}^{\text{ОСВ}}$.

Таким образом, как видно из рис. 4, отношение R нормированных амплитуд потенциалов двух волн с противоположными ориентациями волновых векторов φ_{R1} и $\varphi_{R1} - \pi$ максимально, а при ориентациях φ_{R4} и $\varphi_{R4} - \pi$ — минимально. Для сравнения на зависимостях $R(\varphi)$ отмечены значения $R(\varphi_{\text{экт}1})$ и $R(\varphi_{\text{экт}4})$, при которых величина Ψ_0^H на одной из поверхностей ферритовой пластины максимальна (см. рис. 4, кружочки). Как видно, для частот, лежащих вблизи начальной частоты спектра ОСВ $f_{\perp} = \omega_{\perp}/2\pi$, значения углов $\varphi_{\text{экт}1}$, $\varphi_{\text{экт}4}$ и φ_{R1} , φ_{R4} близки (что видно из сравнения кривых 1–4 и 13–16).

4. ОБСУЖДЕНИЕ ПОЛУЧЕННЫХ РЕЗУЛЬТАТОВ И ВОЗМОЖНОСТИ ИХ ПРАКТИЧЕСКОГО ИСПОЛЬЗОВАНИЯ

Полученные выше результаты могут быть использованы на практике для возбуждения в ферритовой пластине ОСВ с определенными свойствами. Поэтому рассмотрим кратко *особенности возбуждения спиновых волн линейным преобразователем*. Пусть на поверхности пластины $x = 0$ расположен линейный преобразователь, у кото-

рого одна (любая) из нормалей параллельна¹⁰ волновому вектору \vec{k} и наклонена к вектору \vec{H}_0 под углом φ . Как известно, лишь часть СВЧ-энергии, подводимая к преобразователю, расходуется на возбуждение “полезной” волны с ориентацией вектора \vec{k} под углом φ , другая же часть энергии тратится на возбуждение “побочной” волны с противоположной ориентацией вектора \vec{k} под углом $\varphi - \pi$.

На практике важно уметь определять направления распространения полезной и побочной волн. Из рис. 2 видно, что волнам, у которых абсолютное значение амплитуды потенциала на поверхности $x = 0$ *больше*, чем на поверхности $x = s$ (т.е. $|\Psi_0^H(x=0, f, \varphi)| > |\Psi_0^H(x=s, f, \varphi)|$), соответствующие точки области $\varphi_{\text{ОСВ}}$, лежащие *выше* оси z на рис. 3. Очевидно, что если на поверхности $x = 0$ расположить линейный преобразователь, то возбуждаемой им полезной волне на рис. 3 будут соответствовать именно эти точки области $\varphi_{\text{ОСВ}}$, а побочной волне – точки, лежащие *ниже* оси z . При этом ориентации φ , описывающие полезную волну, лежат в интервалах значений $0 < \varphi < \varphi_{\text{отс1}}^{\text{ОСВ}}$ и $\varphi_{\text{отс2}}^{\text{ОСВ}} < \varphi < \pi$, а ориентации φ , описывающие побочную волну – в интервалах значений $-\pi < \varphi < \varphi_{\text{отс3}}^{\text{ОСВ}}$ и $\varphi_{\text{отс4}}^{\text{ОСВ}} < \varphi < 0$. Точно также волнам, у которых амплитуда на поверхности $x = s$ *больше*, чем на поверхности $x = 0$ (т.е. $|\Psi_0^H(x=s, f, \varphi)| > |\Psi_0^H(x=0, f, \varphi)|$), соответствуют точки области $\varphi_{\text{ОСВ}}$, лежащие *ниже* оси z на рис. 3. Очевидно, что если возбуждать ОСВ со стороны поверхности $x = s$, то все будет наоборот: полезной волне будут соответствовать точки области $\varphi_{\text{ОСВ}}$, лежащие *ниже* оси z , а побочной – точки, лежащие *выше* оси z на рис. 3 (и соответствующие интервалы значений φ , лежащие ниже или выше оси z).

Отмеченные выше свойства ОСВ наглядно отображает также рис. 1б, где волновые векторы \vec{k} и соответствующие им векторы групповой скорости \vec{V} , изображенные жирными стрелками, описывают полезные волны, возбуждаемые преобразователями Пр1 и Пр2. Напомним, что для приема волн в анизотропных средах именно в направлении вектора \vec{V} следует располагать приемный преобразователь, но ориентировать его необходимо так же, как возбуждающий преобразователь.

¹⁰Здесь предполагается, что линейный преобразователь является синфазным возбудителем и возбуждает спиновую волну, у которой волновой вектор ориентирован нормально линии преобразователя. В действительности это предположение справедливо лишь приближенно (подробнее об этом см. раздел 9 в [26]).

Следует также отметить, что в соответствии с работой [16], *отношение амплитуд полезной и побочной волн $R_{\text{экср}}$ в эксперименте примерно равно¹¹ отношению амплитуд магнитного потенциала этих волн R на поверхности ферритовой пластины, где расположен преобразователь.*

Таким образом, из сказанного следует, что, например, для первой моды ОСВ с частотой $f = 2000$ МГц при ориентации преобразователя под углом $\varphi = \varphi_{R1} = 23.9^\circ$ кроме полезной волны (соответствующей ориентации волнового вектора φ_{R1}) возбудится еще и побочная волна с ориентацией волнового вектора $\varphi - \pi = \varphi_{R3} = -156.1^\circ$, причем отношение амплитуд полезной и побочной волн должно быть примерно равно отношению нормированных амплитуд их потенциалов $R(\varphi_{R1} = 23.9^\circ) = \Psi_0^H(G)/\Psi_0^H(H) = 0.865/0.298 = 2.9$ (см. рис. 2 и кривую 3 на рис. 4). Для частоты ОСВ $f = 2450$ МГц и той же ориентации преобразователя получим $R(\varphi_{R1} = 23.9^\circ) = 7.5$ (см. рис. 4 кривая 1). То есть можно осуществлять возбуждение ОСВ с различным отношением амплитуд полезной и побочной волн или же с разной степенью невзаимности.

Кроме того, на практике может возникнуть необходимость передать энергию ОСВ с возбуждающего преобразователя на приемный при минимальных потерях. Пусть, для определенности, ОСВ возбуждается со стороны поверхности $x = 0$. В этом случае для первой моды ОСВ при изменении угла φ от 0 до угла отсечки $\varphi_{\text{отс1}}^{\text{ОСВ}}$ амплитуда *побочной* волны $\Psi_0^H(x=0, \varphi - \pi)$ уменьшается (см. рис. 2б кривые 1, 5–7), тогда как аналогичная амплитуда *полезной* волны $\Psi_0^H(x=0, \varphi)$ максимальна в интервале углов $0 \leq \varphi \leq \varphi_{\text{экср1}}$ (см. рис. 2а кривые 1–4). То есть если сориентировать преобразователь под углом $\varphi = \varphi_{\text{экср1}}$, то амплитуда возбуждающейся полезной волны на поверхности $x = 0$ будет *максимальна*, а амплитуда побочной волны – достаточно мала. Например, для первой моды ОСВ при частоте $f = 2450$ МГц получим $R(\varphi_{\text{экср1}}) = 7.3$ (см.

¹¹ В разделе 3 работы [16] отмечалось, что потери на возбуждение (или прием) полезной ОСВ (по измерениям коэффициента передачи по мощности) при $f = 2350$ МГц, $\varphi = -21.5^\circ$ и приведенных выше параметрах ферритовой пленки составили $\delta = -6.53$ дБ, тогда как потери на возбуждение побочной ОСВ (при $\varphi = 159.5^\circ$) составили $\delta = -19.43$ дБ. Отсюда находим измеренное отношение амплитуд двух этих волн $R_{\text{экср}} = 10^{-6.53/20}/10^{-19.43/20} = 4.415$, что примерно (с точностью ~10%) соответствует отношению амплитуд потенциалов этих волн для данной частоты $R = 4.89$ на поверхности $x = 0$ (см. [16] рис. 4б, 4в, кривые 2 и 5). Кроме того, при $\varphi = 0^\circ$ оба указанных отношения были равны единице. Очевидно, что отношения амплитуд полезной и побочной волн могут быть рассчитаны более точно на основе вычисления для каждой из волн интеграла перекрытия, который будет зависеть от параметров преобразователя и от распределения потенциала волны по толщине ферритовой пластины. Однако вычисление таких интегралов выходит за рамки данной работы.

рис. 4 кружочек на кривой I), вдобавок к этому получим минимальные потери при передаче энергии полезной волны.

Таким образом, в ферритовой пластине, как и в случае с ПСВ (см., например, [6, рис. 6.14]), можно реализовать *невзаимное* возбуждение ОСВ с противоположно направленными волновыми векторами, причем степень невзаимности, определяемая величиной R , существенно зависит от ориентации преобразователя φ .

ЗАКЛЮЧЕНИЕ

Исследованы невзаимные свойства мод обратной спиновой волны, распространяющейся в касательно намагниченной ферритовой пластине. В частности, предложена нормировка амплитуд магнитного потенциала, при которой зависимости $\Psi_0^H(x, \varphi)$ и $\Psi_0^H(x, -\varphi)$, рассчитанные при ориентациях волнового вектора под углами φ и $-\varphi$, симметричны для всех мод волны. Рассмотрено, как на поверхности ферритовой пластины изменяются амплитуды потенциала $\Psi_0^H(x, \varphi)$ и $\Psi_0^H(x, \varphi - \pi)$ двух волн с противоположно направленными волновыми векторами, ориентированными под углами φ и $\varphi - \pi$. Установлено, что отношение R амплитуд потенциалов этих двух волн существенно зависит от величины φ , причем экстремальные значения величины R для всех мод волны имеют место при значениях $\varphi_{R1} \dots \varphi_{R4}$, равных максимальным углам отсечки поверхностной спиновой волны $\varphi_{отс1}^{ПСВ}(f_{\perp}) \dots \varphi_{отс4}^{ПСВ}(f_{\perp})$. Найдено, что если на одной поверхности пластины отношение R максимально, то на другой поверхности пластины это отношение минимально и равно $1/R$. Обнаружено, что существует значение частоты f_R , которое делит диапазон существования обратных спиновых волн на два частотных интервала: в интервале $f_H < f < f_R$ зависимость $R(\varphi)$ является монотонной (т.е. величина R принимает максимальное и минимальное значения при углах, близких к углам отсечки волнового вектора), а в интервале $f_R < f < f_{\perp}$ зависимость $R(\varphi)$ имеет точки экстремума (максимум и минимум). Получено аналитическое выражение для ориентации $\varphi_{экт1}$ волнового вектора, при которой на распределении амплитуды магнитного потенциала m -й моды волны $\Psi_0^H(x)$ в сечении ферритовой пластины возникает m -я точка экстремума, лежащая на одной из поверхностей пластины. Найдено, что для *первой моды* волны амплитуда потенциала максимальна на поверхности пластины при ориентациях волнового вектора, лежащих в интервале значений $0 \leq \varphi \leq \varphi_{экт1}$. Сформулированы рекомендации по практическому использованию полученных результатов при возбуждении обратных спиновых волн с невзаимными свойствами.

ФИНАНСИРОВАНИЕ РАБОТЫ

Работа выполнена за счет бюджетного финансирования в рамках государственного задания по теме № 0030-2019-0014.

СПИСОК ЛИТЕРАТУРЫ

1. Damon R.W., Eshbach J.R. // J. Phys. Chem. Sol. 1961. V. 19. № 3/4. P. 308.
2. Локк Б., Баттон К. Сверхвысокочастотные ферриты и ферромагнетики. М.: Мир, 1965.
3. Ваннэ Г.М. СВЧ устройства на магнитостатических волнах. Сер. 1, Электроника СВЧ. 1984. Вып. 8.
4. Данилов В.В., Зависляк И.В., Балинский М.Г. Спинволновая электродинамика. Киев: изд. Либидь, 1991.
5. Вашковский А.В., Стальмахов В.С., Шараевский Ю.П. Магнитостатические волны в электронике сверхвысоких частот. Саратов: Изд-во Саратов. ун-та, 1993.
6. Гуревич А.Г., Мелков Г.А. Магнитные колебания и волны. М.: Наука, 1994.
7. Stancil D.D., Prabhakar A. Spin Waves: Theory and applications, Business Media. N.-Y.: Springer Science, 2009.
8. Topics in Applied Physics. V. 125. Magnonics: From Fundamentals to Applications / Ed. S.O. Demokritov, A.N. Slavin. Berlin; Heidelberg: Springer-Verlag, 2013.
9. Шавров В.Г., Щеглов В.И. Магнитостатические волны в неоднородных полях. М.: Физматлит, 2016.
10. Вашковский А.В., Гречушкин К.В., Стальмахов А.В., Тюлюкин В.А. // Письма в ЖТФ. 1986. Т. 12. № 8. С. 487.
11. Вашковский А.В., Валяевский А.Б., Стальмахов А.В., Тюлюкин В.А. // РЭ. 1987. Т. 32. № 11. С. 2450.
12. Валяевский А.Б., Вашковский А.В., Стальмахов А.В., Тюлюкин В.А. // ЖТФ. 1989. Т. 59. № 6. С. 51.
13. Вугальтер Г.А., Коровин А.Г. // Письма в ЖТФ. 1989. Т. 15. № 21. С. 73.
14. Анненков А.Ю., Герус С.В. // ЖТФ. 1999. Т. 69. № 1. С. 82.
15. Локк Э.Г. // РЭ. 2003. Т. 48. № 12. С. 1484.
16. Вашковский А.В., Локк Э.Г. // Успехи физ. наук. 2006. Т. 176. № 4. С. 403.
17. Локк Э.Г. // Успехи физ. наук. 2008. Т. 178. № 4. С. 397.
18. Анненков А.Ю., Герус С.В. // Изв. РАН. Серия физическая. 2010. Т. 74. № 10. С. 1416.
19. Вашковский А.В., Локк Э.Г. // РЭ. 2012. Т. 57. № 5. С. 541.
20. Локк Э.Г. // РЭ. 2015. Т. 60. № 1. С. 102.
21. Локк Э.Г. // РЭ. 2018. Т. 63. № 8. С. 350.
22. Локк Э.Г. // Изв. РАН. Серия физическая. 2018. Т. 82. № 8. С. 1034.
23. Annenkov A.Yu., Gerus S.V., Lock E.H. // EPJ Web of Conf. 2018. V. 185. P. 02006.
24. Беспятых Ю.И., Зубков В.И., Тарасенко В.В. // ЖТФ. 1980. Т. 50. № 1. С. 140.
25. Бронштейн И.Н., Семендяев К.А. Справочник по математике. М.: Наука, 1986.
26. Локк Э.Г. // Успехи физ. наук. 2012. Т. 182. № 12. С. 1327.